

# بهبود محدوده کلیدزنی نرم (ZVS) در شارژر بدون سیم، با

## قابلیت استفاده در سامانه‌های زیر سطحی

محمد هادی زاده<sup>۱</sup>، رضا حق‌مرام<sup>۲</sup>، ابوالفضل نصیری<sup>۳</sup>، حسین ملایی<sup>۴</sup>

۱- فارغ‌التحصیل کارشناسی ارشد، دانشکده برق، دانشگاه جامع امام حسین (علیه‌السلام) mohammad.hadizadeh20@gmail.com

۲- دانشیار دانشکده برق، دانشگاه جامع امام حسین (علیه‌السلام) rghmrm@gmail.com

۳- استادیار دانشکده فنی، سیگنالی و فضایی، دانشگاه افسری و تربیت پاسداری امام حسین (علیه‌السلام) nasirieng@gmail.com

۴- پژوهشگر، دانشکده برق، دانشگاه جامع امام حسین (علیه‌السلام) hosseinmollaei128@gmail.com

### چکیده:

در این مقاله تغییرات فرکانس تشدید در مدارهای شارژر بدون سیم نیمه دینامیک بررسی و روشی برای بهبود محدوده کلیدزنی نرم (ZVS) ارائه شده است. ساختار مورد استفاده در این مقاله مبدل تمام‌پل می‌باشد. با توجه به تغییرات فاصله بین سیم‌پیچ‌های انتقال توان، میزان اندوکتانس متقابل سیم‌پیچ‌های فرستنده و گیرنده و در نتیجه فرکانس تشدید مبدل تغییر می‌کند. ساختار مبدل‌های با کلیدزنی سخت عموماً دارای تلفات بالا، راندمان پایین و فرکانس محدود هستند و وجود هم‌پوشانی بین پارامترهای ولتاژی و جریانی المان‌های غیرخطی در این مبدل‌ها، باعث آسیب‌پذیرتر شدن این مبدل‌ها در سطوح بالای توان می‌گردد. به منظور عملکرد مناسب‌تر، الگوهای متفاوتی از عملکرد کلیدها و المان‌های غیرخطی در ساختارهای متفاوت در این زمینه ارائه شده است. در این ساختارها، با افزودن تعدادی المان اضافی به مدار، هم‌پوشانی جریان و ولتاژ کلیدها در لحظات روشن و خاموش شدن تقریباً از بین رفته و تلفات کلیدزنی کاهش می‌یابد. در این مقاله، ساختار جبران‌سازی LCC استفاده شده است. در این ساختار با تطبیق مناسب سلف و خازن اولیه ساختار جبران‌سازی، فرکانس تشدید از فرکانس کلیدزنی کوچک‌تر شده و شرایط کلیدزنی نرم در مبدل برقرار می‌شود. استفاده از این شارژر به دلیل بازدهی بالا و تلفات ناچیز، در زیردریایی‌ها پیشنهاد می‌شود. مدار پیشنهادی در نرم‌افزار MATLAB شبیه‌سازی و تغییرات فرکانس تشدید در ضرایب کوپلینگ مختلف بررسی و نتایج ارائه شده است.

### واژه‌های کلیدی:

اندوکتانس متقابل، شارژر بدون سیم دینامیک، کلیدزنی نرم، مبدل تمام‌پل

## Improved Soft Switching Range (ZVS) in Wireless Charger with Usability in Subsurface Systems

Mohammad Hadizade<sup>1</sup>, Reza Haghmaram<sup>2</sup>, Abolfazl Nasiri<sup>3</sup>, Hossein mollaei<sup>4</sup>

1,2,3,4 Electrical Engineering Department, Imam Hossein University, Tehran, Iran

### Abstract

In this paper, resonance frequency changes in semi-dynamic wireless charging circuits and a method for improving soft switching range (ZVS) is presented. The structure used in this article is a full-bridge converter. Due to the changes in the distance between the powers transmission pads, the amount of mutual inductance of the transmitter and receiver coils and as a result changes the resonant frequency of the converter. The structure of hard switching converters generally has high losses, low efficiency and limited frequency. There is an overlap between the voltage and current parameters of the non-linear elements in these converters, it makes these converters more vulnerable at high power levels. The proposed method for increasing the soft switching range in the dynamic wireless charger is presented. In order to perform better, have been presented different models of the function of keys and non-linear elements in different structures in this field. In these structures, by adding a number of additional elements to the circuit, the overlapping of the current and voltage of the switches at the moments of turning on and off is almost eliminated and are eliminated switching losses. In this article, is used LCC compensation structure. In this structure, by matching the primary inductor and capacitor

in the compensator structure, the resonance frequency is smaller than the switching frequency and soft switching conditions are established in the converter. The use of this charger is recommended in submarines due to its high efficiency and low losses. The proposed circuit is simulated in MATLAB software and are investigated the resonance frequency changes in different coupling coefficients and are presented the results.

**Keywords:** mutual inductance, dynamic wireless charger, soft switching, full bridge converter

شوند. در مرجع [۲] یک مدل سازی کارآمد برای سیستم UWPT با استفاده از پارامترهای Z پیشنهاد می شود. با استفاده از تحلیل الکترومغناطیسی و تحلیل شبکه دو پورت، مدل امپدانس سیم پیچ ها با در نظر گرفتن فرکانس و رسانایی آب دریا استخراج می شود. مدل امپدانس را می توان برای ساخت مدار معادل یک سیستم UWPT استفاده کرد. تلفات جریان گردابی را می توان با استفاده از مدار معادل پیشنهادی به طور دقیق پیش بینی کرد.

انتقال توان القایی (IPT) یک رویکرد عملی برای شارژ وسایل نقلیه خودران زیر آب (AUV) است. از کوپلر مغناطیسی برای انتقال توان بین سیم پیچ های اولیه و ثانویه استفاده می شود. عملکرد کوپلر مغناطیسی ظرفیت انتقال سیستم را تعیین می نماید. کوپلر مغناطیسی حلقوی به طور گسترده در سیستم شارژ بدون سیم زیر آب استفاده می شود. در مرجع [۳] تکامل ساختار جفت کننده مغناطیسی تجزیه و تحلیل می شود و یک جفت کننده مغناطیسی مبتنی بر سیم پیچ دوقطبی با یک روش جدید ارائه می شود. فناوری های شارژ بدون سیم در دو حالت استاتیک (ساکن) و دینامیک (پویا) مورد بررسی قرار می گیرند. در شارژ بدون سیم استاتیک، باید فاصله سیم پیچ های اولیه و ثانویه دارای یک اندازه معین و تقریباً ثابت باشد تا میدان مغناطیسی مورد نظر انتقال توان را انجام دهد. در مرجع [۴] حاصل ضرب بازده توان انتقالی و ضریب توان ورودی ( $\eta \cdot PF$ ) به عنوان معیاری برای استفاده کامل از ظرفیت انتقال توان سیستم و همچنین کاهش سرمایه و هزینه عملیاتی سیستم در نظر گرفته شده است. یک روش دستیابی به فرکانس بهینه برای به حداکثر رساندن  $\eta \cdot PF$  سیستم با در نظر گرفتن تغییرات ناگهانی احتمالی در ضریب کوپلینگ سیستم WPT به دلیل انحرافات EV از تراز مسیر در امتداد جاده پیشنهاد شده است. شارژ دینامیک (انتقال توان همراه با تغییر فاصله میان سیم پیچ ها) یک گزینه مناسب برای

## ۱- مقدمه

شارژرهای بدون سیم در صنایع مختلفی مانند تلفن همراه، زیر دریایی ها، اینترنت اشیا و خودروسازی استفاده می شوند. هدف از استفاده از این فناوری، سهولت در فرآیند شارژ دستگاه هاست. اکثر سیستم های الکتریکی که امروزه به طور گسترده مورد استفاده قرار می گیرند دارای باتری های قابل شارژ می باشند. در برخی از این وسایل امکان شارژ با اتصال سیم وجود ندارد و یا نیاز به روشی راحت تر و ایمن تر برای شارژ حس می گردد. همچنین، برخی از دستگاه های الکتریکی غیر قابل دسترس می باشند که نیازمند یک سیستم بدون سیم برای تأمین توان مورد نیاز خود هستند. طراحی چنین سیستم هایی مستلزم شناخت هر چه بهتر روش های انتقال توان بدون سیم (WPT) و قواعد حاکم بر سیستم های الکتریکی می باشد. یک سیستم انتقال توان بدون سیم از بخش های اصلی مبدل فرکانس بالا، شبکه جبران کننده و کوپلینگ مغناطیسی تشکیل شده است.

انتقال توان بدون سیم یک فناوری توان مند برای تجهیزات الکتریکی و الکترونیکی است، زیرا دخالت نیروی انسانی در هنگام شارژ را حذف می نماید. چالش های اصلی برای پذیرش سیستم های انتقال توان بدون سیم شامل ناهم تراز سیم پیچ ها و فاصله هوایی بزرگ می باشد که هر دو راندمان انتقال توان را کاهش می دهند [۱]. فناوری انتقال توان بدون سیم را می توان برای شارژ بدون سیم وسایل نقلیه زیر آب بدون سرنشین استفاده نمود. با این حال، در یک سیستم انتقال توان بدون سیم زیر آب (UWPT)<sup>۲</sup>، تلفات جریان گردابی (ECL) ناشی از رسانایی آب دریا باید در نظر گرفته شود. طرح هایی که تلفات جریان گردابی را به درستی در نظر نمی گیرند می تواند باعث کاهش غیر قابل پیش بینی کارایی سیستم

<sup>1</sup> Wireless Power Transfer

<sup>2</sup> Underwater Wireless Power Transfer

<sup>3</sup> Eddy Current Loss

<sup>4</sup> Inductive Power Transfer

<sup>5</sup> Autonomous Underwater Vehicles

انتقال انرژی است که می‌تواند مقدار نشتی انرژی را کاهش دهد، محدودیت‌های برد را حذف کند و زمان کارکرد را افزایش دهد. در مرجع [۵] از سیم پیچ فرستنده و ماژول‌های الکترونیک قدرت برای ایجاد یک سیستم تشخیص دقیق بر اساس تغییر فاصله گیرنده استفاده می‌کند. در مرحله بعد، یک الگوریتم کنترلی برای کنترل دقیق زمان فعال‌سازی و غیرفعال شدن شارژر و ارائه انرژی مورد نیاز در طول حداکثر کوپلینگ سیم‌پیچ‌ها پیشنهاد شده است که اجازه شکل‌دهی بهینه پروفیل قدرت برای کنترل میزان انرژی تحویلی به خودرو را می‌دهد. روش‌های موجود برای تنظیم ولتاژ خروجی نیاز به اتصال بین وسیله نقلیه الکتریکی<sup>۶</sup> (EV) و ایستگاه شارژ دارد. این اتصال برای کنترل مبدل ایستگاه شارژ یا مبدل DC-DC در وسیله نقلیه الکتریکی نیز می‌باشد. در مرجع [۶] راه حلی برای بهینه‌سازی شبکه‌های جبرانی برای کاهش حساسیت ولتاژ خروجی با توجه به ناهماهنگی و بهبود کارایی سیستم کلی ارائه می‌دهد. چهار توپولوژی با جزئیات مطالعه شده و شبکه جبران بهینه برای هر توپولوژی توسعه داده شده است. همه توپولوژی‌ها از جنبه‌های مختلف مانند تغییرات ولتاژ خروجی، میانگین راندمان، تعداد و اندازه قطعات و توزیع تلفات توان بهینه شده و مقایسه می‌شوند. در میان توپولوژی‌های مختلف تشدید، LCC-LCC بهترین عملکرد را از نظر تغییرات ولتاژ خروجی برای طیف گسترده‌ای از ضرایب کوپلینگ ارائه کرد. سیستم‌های شارژ بدون سیم به کوپلینگ القایی بین شارژر و دستگاه گیرنده نیاز دارند و ناهماهنگی بین این دو تلفات سیستم را افزایش خواهد داد. در مرجع [۷]، آرایش جدیدی از سیم‌پیچ‌های حسگر برای تشخیص ناهماهنگی بین یک شارژر بدون سیم متحرک و یک ربات متحرک استفاده شده است. داده‌های حاصل از سیم‌پیچ‌های حسگر در کنترل دو حلقه‌ای ربات استفاده می‌شود. حلقه داخلی سرعت ربات را کنترل می‌کند و از یک تنظیم‌کننده درجه دوم خطی با عملکرد یکپارچه تشکیل شده است. حلقه بیرونی بر اساس قرائت سیم‌پیچ‌های حسگر، سرعت‌های مرجع را برای حلقه داخلی فراهم می‌کند. طرح مدولاسیون دیجیتال (IBMC) برای شارژر خودروی برقی بدون سیم

ارائه شده است. یک IBMC می‌تواند ولتاژ موج مربعی تقویت‌شده با دامنه قابل کنترل تولید و توان را به طور موثر در یک بار گسترده و یا محدوده کوپلینگ تنظیم کند و در عین حال به کلیدزنی ولتاژ صفر (ZVS) برای همه کلیدها دست یابد. در مرجع [۸] بر اصول عملکرد حالت پایدار طرح مدولاسیون دیجیتالی پیشنهادی تمرکز دارد. ملاحظات عملی کلیدی، مانند متعادل‌سازی ولتاژ خازن و انتخاب دستگاه نیمه‌رسانا، برجسته شده‌اند. مزیت کلیدی طرح مدولاسیون دیجیتالی، توانایی آن در تولید یک موج مربعی شکل تقویت شده با دامنه قابل کنترل است که می‌تواند عملکرد ZVS همه سوئیچ‌ها را در کل محدوده عملیاتی تضمین کند. به منظور تضمین عملکرد کلیدزنی ولتاژ صفر برای سیستم انتقال توان بدون سیم، زاویه فاز ورودی سمت اولیه به عنوان یک مقدار مثبت در نظر گرفته می‌شود. زاویه فاز ورودی در شرایط مختلف کوپلینگ و بار، مثبت باقی می‌ماند. در مرجع [۹]، یک روش طراحی بهینه برای شبکه جبرانی سری LCC برای یک شارژر ثابت خودروی الکتریکی بدون سیم (EV) پیشنهاد شده است. تمرکز اصلی این مقاله بهینه‌سازی شبکه تشدید مناسب برای حالت بدون بار تا بار کامل است. روش پیشنهادی از یک راندمان میانگین وزنی زمان در شرایط مختلف کوپلینگ، برای دستیابی به راندمان بالا در محدوده بدون بار تا بار کامل استفاده می‌کند.

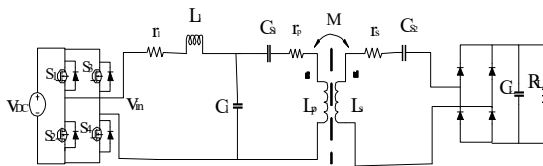
مبدل‌های الکترونیک قدرت در منابع تغذیه سیستم‌های الکترونیکی زیر دریا، به صورت سری در امتداد کابل توزیع متصل می‌شوند تا توان بارهای حس‌گر و وسایل نقلیه زیر آب را تأمین نمایند. در مرجع [۱۰]، یک سیستم شارژ القایی با ولتاژ خروجی ثابت برای وسایل نقلیه زیرآبی خودران که از کابل توزیع جریان dc ثابت تغذیه می‌شوند، با استفاده از شبکه جبران سری توسعه داده می‌شود. تجزیه و تحلیل حالت پایدار برای نشان دادن ویژگی‌های خروجی ولتاژ ثابت و قابلیت کنترل ولتاژ خروجی از طریق مدولاسیون تغییر فاز اینورتر ارائه شده است. همچنین یک تحلیل برای کیفیت مخازن تشدید ارائه شده تا نشان دهد که چگونه طراحی توپولوژی، برای محدوده توان مورد نیاز تأثیر می‌گذارد. ساختار خازن کنترل‌شده کلید<sup>۹</sup> (SCC) برای تنظیم

<sup>۸</sup>Zero Voltage Switching

<sup>۹</sup>Switched-Controlled-Capacitance

<sup>۶</sup>Electrical Vehicle

<sup>۷</sup>Integrated Boost Multilevel Converter



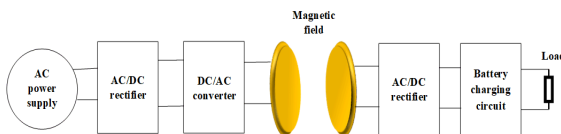
شکل ۱- ساختار پیشنهادی با یک شبکه جبران سازی LCC سری

## ۲- اصول و مبانی

### ۲-۱- بلوک دیاگرام پیشنهادی

شکل ۲ بلوک دیاگرام یک سیستم انتقال توان بدون سیم را نشان می‌دهد. این سیستم از دو بخش اولیه و ثانویه تشکیل شده است. تأمین توان ورودی از جریان متناوب (AC) فرکانس پایین (۵۰ هرتز) دریافت می‌شود. برای انتقال توان الکتریکی، بخش مرکزی شارژر بدون سیم از یک مبدل DC/DC تشکیل شده است.

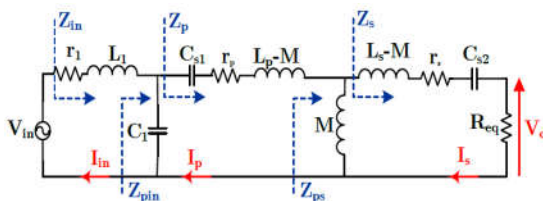
انتقال توان بین فرستنده و گیرنده به صورت الکترومغناطیسی و ترانسفورماتوری انجام می‌شود. در گیرنده ولتاژ AC یکسو شده و پس از کنترل سطح ولتاژ بر روی لینک ولتاژ DC قرار می‌گیرد.



شکل ۲- بلوک دیاگرام ساختار پیشنهادی

### ۲-۲- مدار معادل ساختار پیشنهادی

مدار معادل سیستم انتقال توان بدون سیم پیشنهادی در شکل ۳ ارائه شده است.



شکل ۳- مدار معادل سیستم انتقال توان بدون سیم پیشنهادی

رابطه (۱) سری فوریه ولتاژ خروجی اینورتر  $V_{in}$  و رابطه (۲) مقدار RMS مؤلفه اصلی  $V_{in}$  می‌باشد. در این روابط،  $\theta$  تغییر فاز کلیدزنی بین پایه‌های اینورتر تمام پل می‌باشد.

خازن تشدید ثانویه استفاده می‌شود. به کمک ساختار SCC، می‌توان خروجی شارژر با جریان ثابت<sup>۱</sup> (CC) و شارژر با ولتاژ ثابت<sup>۱</sup> (CV) مستقل از بار را در دو فرکانس کاری متفاوت تحت شرایط کلیدزنی در ولتاژ صفر برای کلیدهای اینورتر به دست آورد. در مرجع [۱۱]، ساختار خازن سوئیچ کنترل شده (SCC) مورد بررسی قرار گرفته است. سپس یک توپولوژی ترکیبی که در آن SCC برای تنظیم خازن تشدید ثانویه استفاده می‌شود، برای دستیابی به جریان و ولتاژ خروجی مستقل از بار تحت دو فرکانس کاری متفاوت پیشنهاد می‌شود. به طور همزمان، سوئیچینگ نرم تمام دستگاه‌های قدرت نیز در کل دوره شارژ قابل تحقق است. امروزه قطعات نیمه‌هادی قدرت در معرض افزایش ولتاژ و جریان و تنش‌های حرارتی قرار می‌گیرند. تلفات کلیدزنی در سمت اولیه مبدل یک سیستم انتقال توان بدون سیم با فراهم شدن شرایط کلیدزنی در ولتاژ صفر در طول فرآیند شارژ باتری، کاهش می‌یابد. در مرجع [۱۲] یک روش کنترل جدید را برای کنترل دینامیکی زاویه ZVS سیستم WPT در حالی که جریان و ولتاژ خروجی را در سطح مورد نظر حفظ می‌کند، مورد بحث قرار می‌دهد. شارژر CC و CV با اجرای طرح مدولاسیون تغییر فاز سنتی بر روی اینورتر تمام پل به دست آمد و زاویه ZVS با اجرای یک خازن تنظیم کنترل شد.

در این مقاله، تغییرات فاصله سیم‌پیچ‌های اولیه و ثانویه در شارژر بدون سیم بررسی، و مقدار فرکانس تشدید در فاصله‌های مختلف محاسبه می‌گردد. پس از آن، محدوده مجاز فرکانس کلیدزنی مشخص می‌شود. شکل ۱ ساختار پیشنهادی با شبکه جبران سازی LCC (سلف، خازن، خازن) را نشان می‌دهد.

در ادامه، در بخش دوم بلوک دیاگرام و مدار معادل پیشنهادی مورد بحث قرار گرفته است، در بخش سوم ساختار پیشنهادی شبیه‌سازی و نتایج شبیه‌سازی ارائه شده است. در نهایت در بخش چهارم نتیجه‌گیری بیان شده است.

<sup>۱</sup>Constant Current

<sup>۱</sup>Constant Voltage

$$\Re\{Z_s\} = r_s + R_{eq} \quad (12)$$

$$\Im\{Z_{in}\} = \omega L_1 + \Re\{Z_{P_{in}}\} = \omega L_1 - \frac{\omega C_1 \Im\{Z_P\} \Re\{Z_P\}}{(1 - C_1 \omega \Im\{Z_P\})^2 + (C_1 \omega \Re\{Z_P\})^2} \quad (13)$$

$$\Im\{Z_P\} = \omega \left( L_1 - \frac{1}{C_{s1} \omega^2} \right) + \Im\{Z_{PS}\} = \quad (14)$$

$$\left( L_1 - \frac{1}{C_{s1} \omega^2} \right) - \frac{(M\omega)^2 (\Im\{Z_s\} + M\omega)}{\Re\{Z_s\}^2 + (\Im\{Z_s\} + M\omega)^2}$$

$$\Im\{Z_s\} = \omega \left( L_s - M - \frac{1}{\omega^2 C_{s2}} \right) \quad (15)$$

توان ورودی و توان خروجی مبدل طبق روابط (۱۶) و (۱۷) محاسبه می‌شوند:

$$P_{in} = |I_{in}|^2 \Re\{Z_{in}\} \quad (16)$$

$$P_{out} = |I_s|^2 R_{eq} \quad (17)$$

انتقال توان در شارژر بدون سیم رابطه مستقیم با تغییرات فاصله دارد. با تغییرات فاصله میان سیم‌پیچ‌های فرستنده و گیرنده، ضریب کوپلینگ (K) تغییر می‌کند که طبق رابطه (۱۸) به اندوکتانس متقابل و اندوکتانس سیم‌پیچ‌های اولیه و ثانویه بستگی دارد.

$$K = \frac{M}{\sqrt{L_p \times L_s}} \quad (18)$$

که  $L_s$  و  $L_p$  اندوکتانس سیم‌پیچ‌های اولیه و ثانویه و M اندوکتانس متقابل بین سیم‌پیچ‌ها می‌باشد. فرکانس تشدید از طریق سلف و خازن‌های معادل طبق رابطه (۱۹) محاسبه می‌شود.

$$F_r = \frac{1}{2\pi \sqrt{L_{eq} C_{eq}}} \quad (19)$$

برای ایجاد شرایط کلیدزنی نرم به روش ZVS باید فرکانس کلیدزنی ( $F_s$ ) از فرکانس تشدید ( $F_r$ ) بزرگ‌تر باشد.

$$V_{in} = \sum_{n=1}^{\infty} \frac{4V_{dc}}{n\pi} \sin \frac{\theta}{2} \sin(n\omega t) \quad (1)$$

$$V_{in,rms} = \frac{2\sqrt{2} V_{dc}}{\pi} \sin \frac{\theta}{2} \quad (2)$$

با فرض یک مقدار بزرگ برای  $C_L$ ، مقاومت معادل  $R_{sq}$  سمت ثانویه را می‌توان به صورت رابطه (۳) نوشت:

$$R_{sq} = \frac{8}{\pi^2} R_L \quad (3)$$

با توجه به شکل ۳، امپدانس‌های  $Z_p$ ،  $Z_{ps}$ ،  $Z_s$  و  $Z_{in}$  طبق روابط (۴) تا (۷) محاسبه می‌شوند.

$$Z_s = R_{sq} + r_s + j\omega \left( (L_s - M) - \frac{1}{\omega^2 C_{s2}} \right) \quad (4)$$

$$Z_{ps} = j\omega M \parallel Z_s = j\omega M + \frac{(M\omega)^2}{R_{sq} + r_s + j\omega \left( L_s - \frac{1}{C_{s2} \omega^2} \right)} \quad (5)$$

$$Z_p = r_p + j\omega \left( (L_p - M) - \frac{1}{\omega^2 C_{s1}} \right) + Z_{ps} \quad (6)$$

$$Z_{in} = r_1 + \omega L_1 j \parallel Z_p \parallel \frac{1}{\omega C_1} \quad (7)$$

$\phi$  زاویه بین ولتاژ ( $V_{in}$ ) و جریان ( $I_{in}$ ) خروجی اینورتر تمام‌پل (زاویه فاز ورودی مدار معادل سیستم) است که با تجزیه بخش‌های حقیقی و موهومی امپدانس ورودی مبدل ( $Z_{in}$ ) طبق روابط (۸) و (۹) به دست می‌آید:

$$I_{in} = \frac{V_{in}}{Z_{in}} = \left| \frac{V_{in}}{Z_{in}} \right| \angle \phi \quad (8)$$

$$\phi = \angle Z_{in} = \tan^{-1} \frac{\Im\{Z_{in}\}}{\Re\{Z_{in}\}} \quad (9)$$

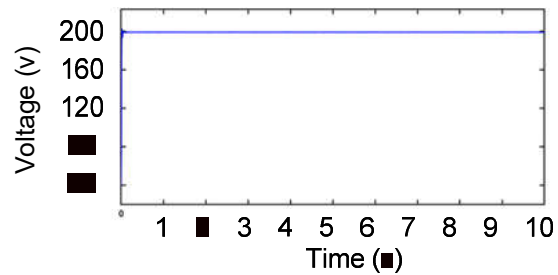
مقادیر حقیقی و موهومی  $Z_{in}$  طبق روابط (۱۰) تا (۱۵) محاسبه می‌شوند.

$$\Re\{Z_{in}\} = r_1 + \Re\{Z_{P_{in}}\} = r_1 + \Re\{Z_P\} \frac{[(1 - C_1 \omega \Im\{Z_P\}) + C_1 \omega \Re\{Z_P\}]}{(1 - C_1 \omega \Im\{Z_P\})^2 + (C_1 \omega \Re\{Z_P\})^2} \quad (10)$$

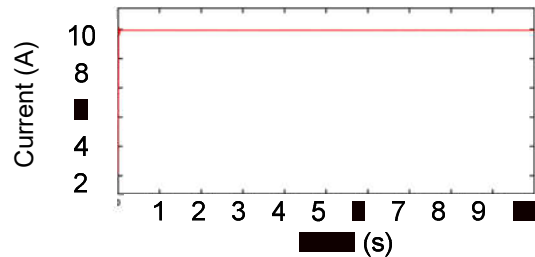
$$\Im\{Z_P\} = r_p + \frac{(\omega M)^2 \Re\{Z_s\}}{(\Re\{Z_s\} + \omega M)^2 + \Im\{Z_s\}^2} \quad (11)$$

### ۳- شبیه سازی ساختار پیشنهادی

شکل موج ولتاژ و جریان خروجی برای  $K = 0/9$  و فرکانس کلیدزنی ( $F_s$ ) برابر  $85 \text{ kHz}$  به صورت شکل ۴ می باشد. مشاهده می شود که ولتاژ و جریان خروجی به ترتیب  $200 \text{ V}$  و  $10 \text{ A}$  می باشد، در نتیجه توان خروجی  $2000 \text{ W}$  به دست می آید. در این حالت ولتاژ و جریان ورودی مبدل به ترتیب  $200 \text{ V}$  و  $11/78 \text{ A}$  می باشد. در نتیجه بازده مبدل طبق رابطه (۲۰) محاسبه می شود.



شکل موج ولتاژ خروجی (الف)



شکل موج جریان خروجی (ب)

شکل ۴- شکل موج های خروجی (الف) ولتاژ خروجی

(ب) جریان خروجی

$$\eta = \frac{P_{out}}{P_{in}} \times 100 \quad (20)$$

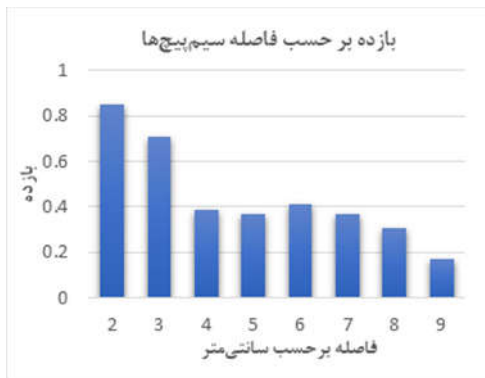
$$= \frac{200 \times 10}{200 \times 11.78} \times 100 = 84.8\%$$

بازده مبدل در این حالت همراه با جبران سازی  $84.8\%$  می باشد. در ادامه، ساختار جبران سازی مبدل را حذف نموده و بازده مبدل را محاسبه می کنیم. تأثیر جبران سازی بر بازده مبدل مشاهده می شود. در این حالت ولتاژ و جریان خروجی به ترتیب  $18 \text{ V}$  و  $0/9 \text{ A}$  می باشد، در نتیجه توان خروجی  $16/2 \text{ W}$  به دست می آید. در این حالت ولتاژ و جریان ورودی مبدل به ترتیب  $200 \text{ V}$  و  $2/36 \text{ A}$  می باشد. در نتیجه بازده مبدل طبق رابطه (۲۰) محاسبه می شود.

$$\eta = \frac{18 \times 0.9}{200 \times 2.36} \times 100 = 3.43\%$$

مشاهده می شود که ساختار جبران سازی تأثیر خوبی بر بازده مبدل می گذارد. ولتاژ خروجی  $V_o$  به کوپلینگ متقابل، فرکانس کلیدزنی و ولتاژ خروجی اینورتر  $V_{in}$  بستگی دارد. هم چنین نتایج شبیه سازی برای مبدل پیش نهادی نشان داد که زاویه فاز جریان ورودی به اینورتر ( $I_{in}$ ) برای ایجاد شرایط ZVS مثبت می باشد. جدول ۱ بازده مبدل را طبق مقادیر ضریب کوپلینگ ( $K$ ) و اندوکتانس متقابل سیم پیچ ها ( $M$ ) بر اساس فواصل مختلف طبق نتایج شبیه سازی نشان می دهد.

نمودار شکل ۵ بازده مبدل را بر حسب فاصله سیم پیچ های اولیه و ثانویه طبق نتایج جدول ۱ نشان می دهد. شکل موج ولتاژ و جریان کلیدهای مبدل تمام پل بر حسب زمان در شرایط کوپلینگ مختلف در شکل ۶ نشان داده شده است. مشاهده می شود که با روشن شدن کلیدها، ابتدا ولتاژ کلید صفر می شود سپس جریان آن به آرامی افزایش می یابد که بیانگر ایجاد شرایط ZVS برای فاصله های مختلف سیم پیچ های اولیه و ثانویه است. شرایط ZVS برای ولتاژ خروجی  $200 \text{ V}$  و جریان خروجی  $10 \text{ A}$  در همه حالت ها می باشد. مقادیر  $L_s$  و  $L_p$  برابر  $100 \mu\text{H}$  می باشد.



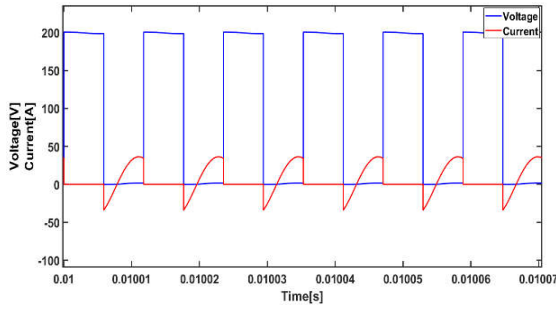
شکل ۵- بازده مبدل بر حسب فاصله سیم پیچ ها از یکدیگر

برای ایجاد شرایط ZVS برای کلیدهای اینورتر باید زاویه فاز جریان نسبت به ولتاژ خروجی اینورتر مثبت باشد. شکل ۷ شکل موج های جریان و ولتاژ خروجی اینورتر را برای شرایط کوپلینگ  $K=0/9$ ،  $K=0/75$  و  $K=0/6$  نشان می دهد. در فواصل کم میان سیم پیچ ها زاویه جریان نسبت به ولتاژ خروجی اینورتر مثبت است و در نتیجه شرایط ZVS برقرار است. برای  $K=0/6$  شکل موج جریان نسبت به ولتاژ کمی عقب تر است، لذا با

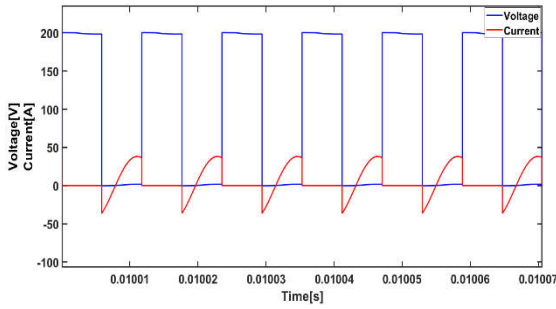
کاهش ضریب کوپلینگ و افزایش فاصله بین سیم‌پیچ‌ها، شرایط ZVS به‌خوبی برقرار نشده و عملکرد ZVS برای کلیدهای مبدل ضعیف می‌شود. در ادامه یک مقایسه‌ای بین کار انجام شده از نظر شرایط کوپلینگ و بازه کلیدزنی نرم با سایر منابع در جدول ۲ گزارش شده‌است.

جدول ۱- مقادیر ضریب کوپلینگ (K) و اندوکتانس متقابل سیم‌پیچ‌ها (M) به ازای فواصل مختلف

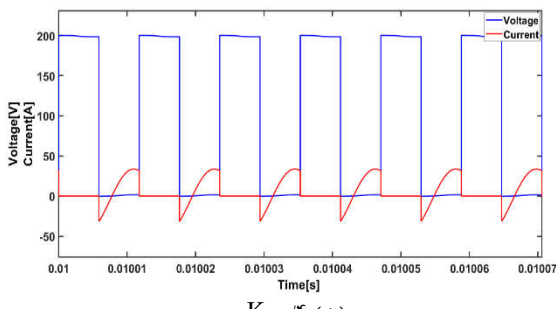
فاصله برحسب cm	ضریب کوپلینگ (K)	اندوکتانس متقابل سیم‌پیچ‌ها (M)	بازده
۲	۰/۹	۹۰ $\mu$ H	٪۸۴/۸
۳	۰/۷۵	۷۵ $\mu$ H	٪۷۰/۸
۴	۰/۶	۶۰ $\mu$ H	٪۳۸/۵
۵	۰/۵	۵۰ $\mu$ H	٪۳۶/۶
۶	۰/۴	۴۰ $\mu$ H	٪۴۱/۲
۷	۰/۳۵	۳۵ $\mu$ H	٪۳۷/۱
۸	۰/۳	۳۰ $\mu$ H	٪۳۰/۶
۹	۰/۲	۲۰ $\mu$ H	٪۱۷



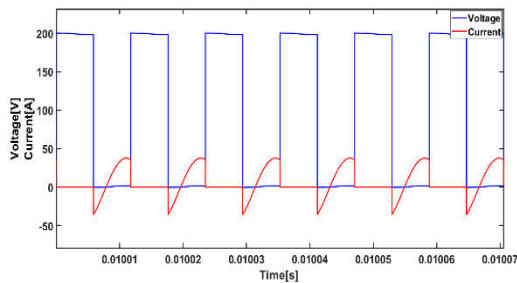
$K=0.6$  (پ)



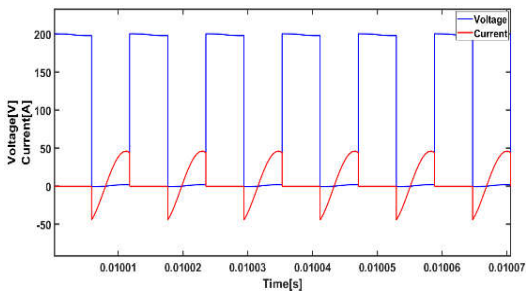
$K=0.5$  (ت)



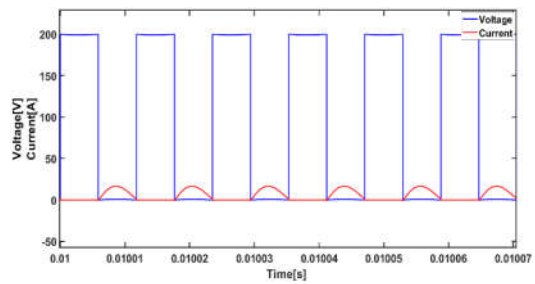
$K=0.4$  (ث)



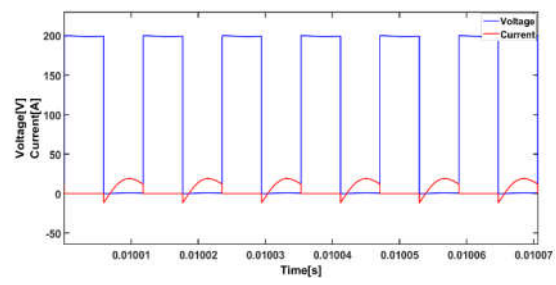
$K=0.35$  (ج)



$K=0.3$  (چ)



$K=0.9$  (الف)



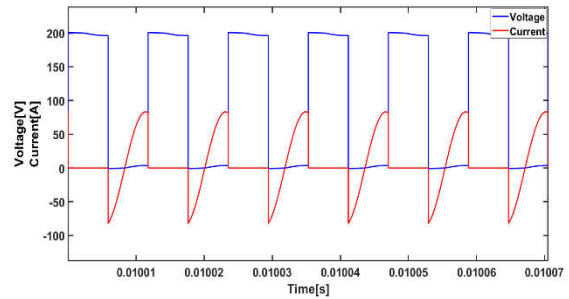
$K=0.75$  (ب)

جدول ۲- مقایسه کار انجام شده با سایر منابع

مقایسه شرایط کوپلینگ و بازه کلیدزنی نرم	مراجع
با افزایش فاصله ۲۰ سانتی متری سیم پیچ‌ها بازده مبدل ۵٫۶ درصد افزایش می‌یابد. با قرار دادن شارژر در قسمت پشتی EV، می‌توان فاصله سیم پیچ‌ها را به حداقل رساند. یک سیستم کنترلی تصحیح کننده موقعیت که نیازی به حسگر ندارد، در فاصله ۵ سانتی متری سیم پیچ‌ها ارائه شد.	[۱]
در میان توپولوژی‌های مختلف تشدید، LCC-LCC بهترین عملکرد را از نظر تغییرات ولتاژ خروجی برای طیف گسترده‌ای از فاکتورهای کوپلینگ از $K=0.18$ تا $K=0.32$ ارائه کرد. با در نظر گرفتن میانگین کارایی ساختارها، LCC-LCC بهترین ساختار در جابجایی سیم پیچ‌ها است.	[۶]
هشت سیم پیچ حسگر برای تشخیص ناهماهنگی جانبی بین سیم پیچ‌های فرستنده و گیرنده شارژر استفاده می‌شود. تا زمانی که یک یا چند سیم پیچ حسگر در ناحیه بالای شارژر باقی بماند، سیم پیچ‌های حسگر گزارشی از ناهماهنگی ارائه می‌دهند.	[۷]
یک طرح مدولاسیون دیجیتال جدید را پیشنهاد می‌کند که می‌تواند توسط IBMC شرایط ZVS را در محدوده کوپلینگ مختلف ایجاد کند.	[۸]
برای دستیابی به یک طراحی بهینه، یک مسئله بهینه‌سازی تعریف شد که در آن تابع هدف شامل یک بازده وزن دار زمان برای شرایط کوپلینگ مختلف بود. نتایج شبیه‌سازی برای مبدل پیشنهادی نشان داد که زاویه فاز ورودی در شرایط مختلف کوپلینگ و بار مثبت باقی می‌ماند.	[۹]
ایجاد شرایط کلیدزنی نرم به روش ZVS برای شرایط کوپلینگ مختلف در فاصله ۲ الی ۹ سانتی متری سیم پیچ‌های اولیه و ثانویه با روش اضافه کردن ساختار جبران ساز به مدار و تطبیق سلف و خازن اولیه این ساختار	مبدل پیشنهادی

#### ۴- نتیجه گیری

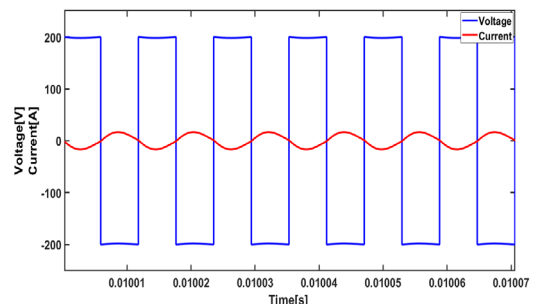
در این مقاله تغییرات فرکانس تشدید در مدارهای شارژر بدون سیم دینامیک مورد استفاده در زیردریایی‌ها بررسی شده‌است. ساختار مورد استفاده در این مقاله مبدل تمام پیل می‌باشد. ساختار جبران سازی LCC مورد بررسی قرار گرفته و تغییرات فرکانس تشدید در ضرایب کوپلینگ مختلف بررسی و شبیه سازی شده‌است. با افزودن مدار جبران ساز به مبدل ارائه شده موجب شد شرایط ZVS در فاصله ۲cm تا ۹cm میان سیم پیچ فرستنده و گیرنده فراهم شود. برای افزایش بازه کلیدزنی نرم، ساختار جبران ساز LCC بسیار مناسب است و در این ساختار با تطبیق مناسب سلف و خازن اولیه ساختار جبران ساز، فرکانس تشدید از فرکانس کلیدزنی کوچک تر می‌شود. مبدل در مد جریان پیوسته



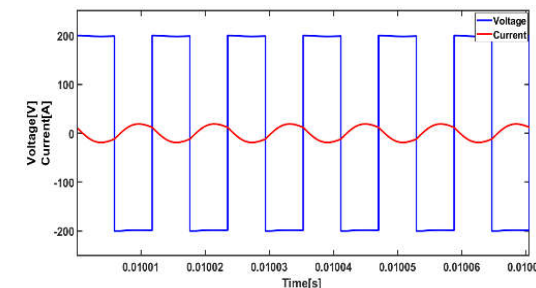
شکل ۶- (ح)  $K=0.2$

شکل ۶- شکل موج ولتاژ و جریان کلیدهای مبدل تمام پیل در شرایط کوپلینگ مختلف. الف)  $K=0.9$ ، ب)  $K=0.75$ ، پ)  $K=0.16$ ، ت)  $K=0.5$ ، ث)  $K=0.4$ ، ج)  $K=0.35$ ، چ)  $K=0.3$

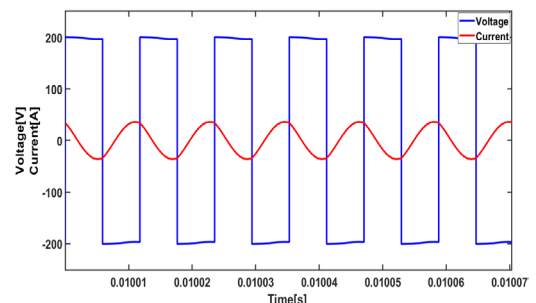
شکل ۶- (ح)  $K=0.2$



شکل ۶- (الف)  $K=0.9$



شکل ۶- (ب)  $K=0.75$



شکل ۶- (پ)  $K=0.16$



vehicles," *IEEE Transactions on Power Electronics*, vol. 35, no. 7, pp. 6732-6740, 2019.

[5] Wang, Hongjie and Pratik, Ujjwal and Jovicic, Aleksandar and Hasan, Nazmul and Pantic, Zeljko, "Dynamic Wireless Charging of Medium Power and Speed Electric Vehicles," *IEEE Transactions on Vehicular Technology*, vol. 70, no. 12, pp. 12552-12566, 2021.

[6] Ramezani, Ali and Narimani, Mehdi, "Optimized electric vehicle wireless chargers with reduced output voltage sensitivity to misalignment," *IEEE Journal of Emerging and Selected Topics in Power Electronics*, vol. 8, no. 4, pp. 3569-3581, 2019.

[7] Cortes, Ivan and Kim, Won-Jong, "Automated alignment with respect to a moving inductive wireless charger," *IEEE Transactions on Transportation Electrification*, vol. 8, no. 1, pp. 605-614, 2021.

[8] Wang, Wenwei Victor and Thrimawithana, Duleepa J and Neuburger, Martin, "An Si MOSFET-Based High-Power Wireless EV Charger With a Wide ZVS Operating Range," *IEEE Transactions on Power Electronics*, vol. 36, no. 10, pp. 11163-11173, 2021.

[9] Ramezani, Ali and Farhangi, Shahrokh and Iman-Eini, Hossein and Farhangi, Babak and Rahimi, Ramin and Moradi, Gholam Reza, "Optimized LCC-series compensated resonant network for stationary wireless EV chargers," *IEEE Transactions on Industrial Electronics*, vol. 66, no. 4, pp. 2756-2765, 2018.

[10] Bagchi, Anindya Chitta and Saha, Tarak and Kamineni, Abhilash and Zane, Regan, "Analysis and design of a wireless charger for underwater vehicles fed from a constant current distribution cable," in *2018 IEEE 19th Workshop on Control and Modeling for Power Electronics (COMPEL, 2018)*, pp. 1-8.

[11] Cheng, Bing and He, Liangzong, "Realize load-independent output with soft switching based on switched capacitor for wireless charger system," *IEEE Access*, vol. 10, pp. 10094-10104, 2021.

[12] Kavimandan, Utkarsh D and Mahajan, Satish M and Van Neste, Charles W, "Analysis and demonstration of a dynamic ZVS angle control using a tuning capacitor in a wireless power transfer system," *IEEE Journal of Emerging and Selected Topics in Power Electronics*, vol. 9, no. 2, pp. 1876-1890, 2020.

(CCM) کار می‌کند و شرایط کلیدزنی نرم در مبدل برقرار است. طبق نتایج شبیه‌سازی مشاهده می‌شود که در  $K=0.4$  حالت بهینه‌ای برای جبران‌سازی اتفاق می‌افتد و بازده مبدل در این حالت مناسب است. براساس نتایج شبیه‌سازی شرایط ZVS برای کم‌ترین فاصله میان سیم‌پیچ‌های اولیه و ثانویه یعنی  $K=0.9$  بسیار مناسب است. همچنین با توجه به این که برای ایجاد شرایط ZVS باید زاویه جریان نسبت به ولتاژ خروجی اینورتر مثبت باشد، برای ضرایب کوپلینگ  $K=0.9$  و  $K=0.75$  یعنی فواصل کم میان سیم‌پیچ‌ها زاویه جریان نسبت به ولتاژ خروجی اینورتر مثبت است و در نتیجه شرایط ZVS برقرار است. برای  $K=0.6$  شکل موج جریان نسبت به ولتاژ کمی عقب‌تر است لذا با کاهش ضریب کوپلینگ و افزایش فاصله بین سیم‌پیچ‌ها، شرایط ZVS به‌خوبی برقرار نشده و عملکرد ZVS برای کلیدهای مبدل ضعیف می‌شود و در نتیجه تلفات کلیدزنی افزایش می‌یابد. هر چقدر فرکانس کلیدزنی بزرگ‌تر باشد، با افزایش فاصله‌ی سیم‌پیچ‌ها فرکانس تشدید دیرتر به فرکانس کلیدزنی می‌رسد و لذا مبدل در بازه بزرگ‌تری در حالت جریان پیوسته کار می‌کند.

## مراجع

[1] Khan, Nameer and Matsumoto, Hirokazu and Trescases, Olivier, "Wireless electric vehicle charger with electromagnetic coil-based position correction using impedance and resonant frequency detection," *IEEE Transactions on Power Electronics*, vol. 35, no. 8, pp. 7873-7883, 2020.

[2] Kim, Jongwook and Kim, Kibeom and Kim, Haerim and Kim, Dongwook and Park, Jaehyoung and Ahn, Seungyoung, "An efficient modeling for underwater wireless power transfer using Z-parameters," *IEEE Transactions on Electromagnetic Compatibility*, vol. 61, no.6, pp. 2006-2014, 2019.

[3] Cai, Chunwei and Zhang, Yanyu and Wu, Shuai and Liu, Jinqun and Zhang, Zhipeng and Jiang, Longyun, "A circumferential coupled dipole-coil magnetic coupler for autonomous underwater vehicles wireless charging applications," *IEEE Access*, vol. 8, pp. 65432-65442, 2020.

[4] Zakerian, Ali and Vaez-Zadeh, Sadeh and Babaki, Amir, "A dynamic WPT system with high efficiency and high power factor for electric